

圖 13-20. 具有可动盤的感应型瓦特計。

在具有旋轉磁場的感应型仪表中，旋轉力矩是由某一个交变磁通和由仪表中另外的交变磁通所感应而生的电流相互作用而生的；交变磁场对于环绕着它的閉合迴路沒有排斥力（排斥效应），因为迴路和所有的磁通相环連，而位置对于磁通來說是對称的，所以合力等於零（可參閱圖 13-21）。

現在我們來看一個磁感系統，其中兩個交变磁通 Φ_1 與 Φ_2 穿過金屬板并在其中產生感应电流（圖 13-22）。這兩個磁通隨時間按正弦关系变化，它們之間的相角差是 ψ ，即：

$$\Phi_1 = \Phi_{1n} \sin \omega t,$$

$$\Phi_2 = \Phi_{2n} \sin(\omega t - \psi).$$

每一个磁通在板上产生一个和磁通本身在相位上差四分之一周期的电动势，即：

$$e_1 = -\frac{d\Phi_1}{dt} = -\Phi_{1n} \omega \cos \omega t,$$

$$e_2 = -\frac{d\Phi_2}{dt} = -\Phi_{2n} \omega \cos(\omega t - \psi).$$

这些电动势的作用使得板中产生电流；在

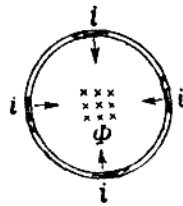


圖 13-21. 磁通與其在板上產生的感应电流相作用。

沿着电流綫划出的某些相同的圓环範圍內，可以認為电流和环的电阻 R_δ 成正比，而在标准频率 50 周/秒时，圆环的电抗可以忽略不計。因此，电流为

$$i_1 = -\frac{\Phi_{1n}\omega}{R_\delta} \cos \omega t,$$

$$i_2 = -\frac{\Phi_{2n}\omega}{R_\delta} \cos(\omega t - \psi).$$

通过板的每一个磁通和由另外一个磁通所产生的感应电流相作用，产生一个作用于圓板

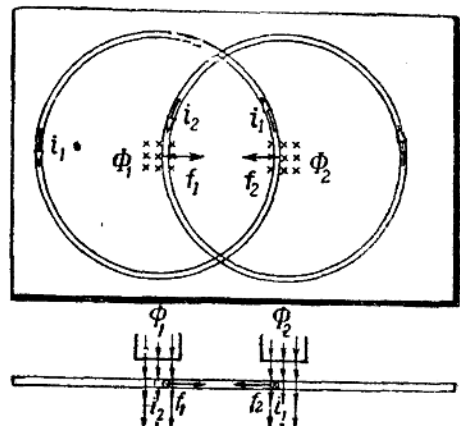


圖 13-22. 兩個交变磁通與其在儀表可動部分中產生的感应电流相作用。

的力；这样的话，圖 13-22 系统中有兩個力將發生作用：

$$F_1 = c_1 \Phi_2 i_1 \text{ 而 } F_2 = c_2 \Phi_1 i_2,$$

其中 c_1 与 c_2 是常数，依系统的几何尺寸而定。这些作用力的方向是由磁通的相位和电流的相位来决定的，归根到底，也就是由磁通和磁通間的相角差来决定。当两个磁通和两个电流的方向相同的时候，这些作用力的方向是相反的，这只要用左手定則就可看出。因此，合力是：

$$F = F_1 - F_2;$$

在旋轉运动的仪表中，这个合力將产生一个旋轉力矩，此力矩等于合力 F 与力臂 r 的乘积。

我們可以用积分方法以决定力矩对时间的平均

值：

$$M_{sp} = \frac{1}{T} \int_0^T F_r dt = \\ = \frac{1}{T} \frac{\omega}{R_\delta} \Phi_{1,n} \Phi_{2,n} \left[-c_1 \int_0^T \sin(\omega t - \psi) \times \right. \\ \left. \times \cos \omega t dt + c_2 \int_0^T \sin \omega t \cos(\omega t - \psi) dt \right]。$$

把这个表示式加以变换，并利用：

$$\int_0^T \sin \omega t \cos \omega t dt = \int_0^T \frac{\sin 2\omega t}{2} dt = 0,$$

$$\int_0^T \cos^2 \omega t dt = \int_0^T \frac{1 + \cos 2\omega t}{2} dt = \frac{T}{2}$$

$$\text{而 } \int_0^T \sin^2 \omega t dt = \int_0^T \frac{1 - \cos 2\omega t}{2} dt = \frac{T}{2},$$

那末，旋转力矩可以用下列公式表示：

$$M_{sp} = \frac{\omega}{R_\delta} \Phi_{1,n} \Phi_{2,n} \sin \psi \frac{c_1 + c_2}{2}.$$

电阻 R_δ （感应电流路徑上的电阻）与板的厚度 b 和电导系数 γ 成反比，也就是說：

$$R_\delta = \frac{c_\delta}{b\gamma};$$

現在如果把旋转力矩式中的常数以下式表示：

$$\pi \frac{c_1 + c_2}{c_\delta} = k_{sp},$$

可得 $M_{sp} = k_{sp} f \gamma b \Phi_{1,n} \Phi_{2,n} \sin \psi$ 。 (13-10)

感应型仪表的旋转力矩是与两个磁通以及它们之間的相角差的正弦的乘积成正比的。为了得到力矩的最大值，必須使角 ψ 等于 90° 。

感应型仪表可以制成伏特計、安培計与瓦特計。在伏特計与安培計中，仪表的线圈是并联的，但为了满足 $\psi = 90^\circ$ 的条件，在一个线圈的电路中接入一个由电抗和电阻組成的特別电路。

在感应型瓦特計中，一个线圈串联在电路中，另一个线圈并联在电路中，因此一个线圈的磁通和电流 I 成正比，另一个线圈的磁通和电压 U 成正比。

在感应型仪表旋转力矩的方程式中，包含有交流电频率 f 与金属的可动部分（盤）的电导

系数 γ 。旋转力矩和频率 f 成正比，因此感应型仪表只能用于某一固定频率的交流电。由于涡流的加热，使得盤的电导系数减小，因而削弱了涡流，同时也削弱了力矩（每 10°C 力矩小 4%）。这种温度对讀数的影响关系是感应型仪表不可消除的大缺点，由于这个原因，感应型仪表即使用于工程量測也是不够准确的。另一方面，應該提出这一类型的仪表由于应用鐵心而具有許多优点：仪表具有强有力地旋转力矩；不怕外界磁场影响；由于不必把电流引导到可动部分上，因此可以經受过載。

在感应型安培計与伏特計中，两个磁通都和 I 或 U 成正比，因此，旋转力矩和 I 或 U 的平方成正比，因而这类仪表的标度尺是不均匀的。

目前有指針的感应型仪表只是用作工程量測用的瓦特計，但是另一方面，交流瓦时計都是感应型的。

静电型仪表是以利用荷电导体間的相互作用力为基础的。在静电型伏特計（圖 13-23）中，有固定于总軸上的可动片系統 1 与固定片系統 2，要量測其电压的电源一头联到可动部分 1 上，另一头联到固定板 2 上。兩組板形成一个容电器 C ，当可动系統偏轉时，它的电容發生变化；静电吸力尽量想增加仪表电場的电能 W_{st} ，因而建立旋转力矩：

$$M_{sp} = \frac{\partial W_{st}}{\partial \alpha} = \frac{U^2}{2} \cdot \frac{\partial C}{\partial \alpha}; \quad (13-11)$$

其中 U 是要量測的电压； α 是偏轉角。反作

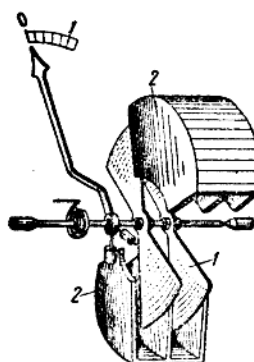


圖 13-23. 静电型伏特計。在静电型伏特計（圖 13-23）中，有固定于总軸上的可动片系統 1 与固定片系統 2，要量測其电压的电源一头联到可动部分 1 上，另一头联到固定板 2 上。兩組板形成一个容电器 C ，当可动系統偏轉时，它的电容發生变化；静电吸力尽量想增加仪表电場的电能 W_{st} ，因而建立旋转力矩：

用力矩是弹簧产生的。

电压符号的改变不会使旋转力矩的符号发生变化，因此静电伏特计同时能测量直流与交流电压。它几乎就不消耗功率，这是它极其重要的优点。但是在低电压时，仪表中的旋转力矩太小了，因此必须增加片数，同时可动部分不用轴心装置，而是悬在线上。

静电型伏特计主要用在实验室里直接量测高电压。

热力型仪表利用它可动部分的金属线由要量测的电流加热而伸长，因而引起偏转。

这种量测原理的优点是读数不受交流电的频率与波形的影响。然而热电型仪表也具有这个优点。另一方面，热电型仪表不能很好地经受过载；由于温度对灵敏度的影响，因之是不准确的，同时它还要消耗相当多的能量。由于这些原因，目前热电型仪表只是在个别情况下用于高频率电流的量测。

其他类型的仪表只用来量测很少的几种量（例如振动型只能量测频率），下面将分别讨论。

电测仪表类型的选择，要由所提出有关量测的、维护的以及生产的要求来决定。如果需要准确的仪表，那么只有直流的永磁型仪表与交流的电动力型仪表可以保证在0.2级。铁心用良导磁合金制的电磁型仪表可以保证0.5级；铁心电动力型仪表的准确度不超过1.0级；整流型的是1.5级；至于感应型，只有2.5级的准确度。量测功率要用电动力型和感应型。如果按照维护条件，需要能承受过载而且价格低廉的仪表来量测交流电压与电流，那末就用电磁型。

当频率增加到1000周/秒时，可以采用电动力型和铁心电动力型仪表；10—20仟周/秒时用整流型仪表；如果频率更高（到几百万周/秒），就应该用热电型仪表。

13-7. 瓦特计

在直流电路内量测功率，并不需要特殊的量测仪表，因为功率 $P=UI$ 可以按伏特计和安培计的读数轻而易举地计算出来。但是在交流电路内，这种计算一般说是不可能的，因为交流电功率是根据

$$P=UI \cos \varphi$$

来决定的，它不仅与电压、电流有关，同时也和电压与电流之间的相角差有关系。因此量测交流电功率必须用瓦特计。

电动力型或感应型仪表可用来作为瓦特计。在电动力型瓦特计中，固定线圈与负载串联，而可动线圈加上外加电阻 R_d 与负载并联（图13-24）。

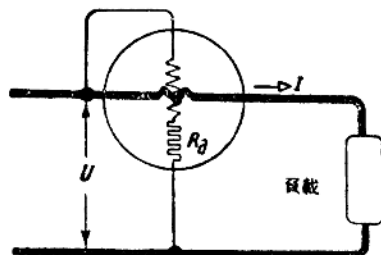


圖 13-24. 瓦特計底接圖。

这样一来，固定线圈中的电流瞬时值等于负载电流。可动线圈中的电流与负载端电压瞬时值 u 成正比；我们把这个电流叫作电压电路中的电流 i_m 。

应该使得这一电流与电压同相，因此，瓦特计的电压电路从工程准确度上看来应该是无电抗的。外加电阻 R_d 占这一电路电阻的绝大部分，它应该做到无电抗，而可动线圈的感抗是相当小的。这就可以把瓦特计电压电路的阻抗 Z_{emn} 认为是纯电阻，即是令

$$Z_{emn} \approx R_{emn}.$$

如果满足这一条件，瓦特计电压电路中的电流

与电压同相

$$i_n = \frac{u}{R_{emn}}.$$

电动力型仪表的轉矩是和固定綫圈与可动綫圈中的电流以及綫圈互感 M 对轉角 α 的变化率 ($\frac{\partial M}{\partial \alpha}$) 的乘积成正比的；但是仪表可动部分由于慣性很大，不可能在交流电的周期之内随着旋轉力矩变化，因而停留在由轉矩一周期內的平均值所决定的位置上。瓦特計的这一平均值是：

$$M_{ep em} = \frac{\partial M}{\partial \alpha} \frac{1}{T} \int_0^T i_n i dt = \\ = \frac{\partial M}{\partial \alpha} \frac{1}{R_{emn}} \left(\frac{1}{T} \int_0^T ui dt \right).$$

大家知道，括号中的式子正是交流电的平均值 P ，因此

$$M_{ep em} = \frac{P}{R_{emn}} \frac{\partial M}{\partial \alpha} = \frac{UI \cos \varphi}{R_{emn}} \frac{\partial M}{\partial \alpha}. \quad (18-12)$$

要想使瓦特計的刻度均匀，必須使 $\frac{\partial M}{\partial \alpha}$ = 常数，也就是說，使綫圈的互感与可动綫圈的轉角 α 成正比地变化。在現代大多数电动力型瓦特計中，这一条件是可以近似达成的，因此它的刻度差不多是均匀的，但是所有的交流伏特計和安培計的标度尺开始部分都是不均匀的。

为了补偿可动綫圈电感的影响，做到 i_n 与 u 完全同相，在實驗室式瓦特計里使用了特殊的相位补偿綫路（可动綫圈用一个电抗綫圈和它并联，附加电阻的一部分和容电器并联）。但是要想做到瓦特計电压电路完全无电抗是極为困难的，因为电压电路的电感里包括互感 M ，而 M 在可动綫圈轉动时是变化的，因此在这种电路里，电压 u 和电流 i_n 之間总是有一个小相角差 δ ，这个角度叫作瓦特計的相角誤差。这个誤差使得瓦特計的讀数不是和 $\cos \varphi$ 成正比，而是和 $\cos(\varphi \pm \delta)$ 成正比。实际上瓦特計的誤差只是在相角差較大时（例如大变压器的空載实

驗和短路實驗时，見第 14-3 和 14-10 节），才会显著影响功率量測准确度。

接在交流电路中的瓦特計，当兩個綫圈中的电流方向都改变时，轉矩方向并不改变（圖 13-25）；但是如果把瓦特計兩個电路中的一个的兩端掉換一下，那就使得該綫圈中的电流相

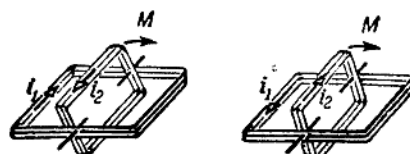


圖 13-25. 瓦特計兩綫圈的电流方向同时改变时，电流相互作用圖。

对相位变了 180° ，轉矩方向因而改变（圖 13-26）。为了預防这种不正确的接法，必須分別在端鉗上标出电路“始端”和“終端”来。

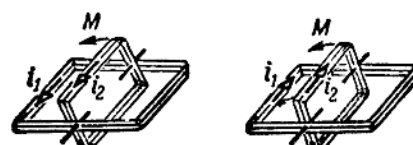


圖 13-26. 瓦特計兩綫圈电流相对相位的变化。

“始端”通常叫作發电机端，因为要是这两个端点連向电源的同一極（圖 13-27），那末瓦

特計的指針向它所應該偏移的方向轉动。仪表的始端标以小星 (*)。

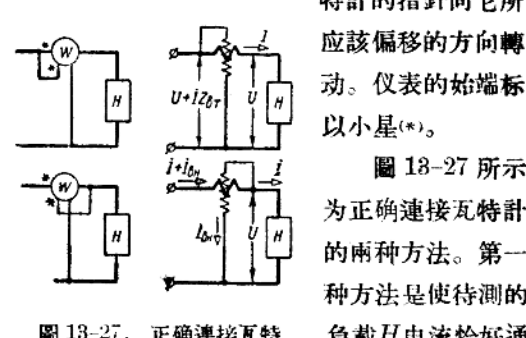


圖 13-27. 正確連接瓦特計的兩種方法。

第一种方法是使待測的負載 H 电流恰好通过固定綫圈；但是

仪表电压电路上的电压却要比負載端电压大一些，大的正是仪表电流电路上的电压降。因此，

瓦特計所讀出的，除了負載功率而外，還有消耗在電流電路上的功率($I^2 R_{emn}$)。第二種方法是作用于瓦特計電壓電路上的正是負載電壓，然而通過瓦特計電流電路的，却是負載電流加上瓦特計電流電路中的電流。因此，瓦特計所讀出的，除了負載功率之外，還有消耗在它電壓電路上的功率 $\frac{U^2}{R_{emn}}$ 。由瓦特計本身損耗所引起的這些誤差是很小的，但是在精密測量和量測小功率時，必須考慮它。

近年來，在配電盤上安裝的大半是鐵心電動力型儀表（圖13-35）。上面講到的這些對它基本上都適用。但是應該指出，這類儀表的準確度却很低，同時由於磁滯的影響，它並不適宜於量測直流電功率。

在感應型瓦特計中，一個線圈是串聯的，另一個線圈是並聯的。那末一個線圈的磁通是

$$\Phi_{1u} = k_1 I,$$

而另一線圈的磁通是

$$\Phi_{2u} = k_2 U,$$

但是為了使儀表指示交流電功率，根據式(13-10)就必須要使 $\sin \psi = \cos \varphi$ 或使 $\psi = \frac{\pi}{2} - \varphi$ （圖13-28）。我們可以認為 I 與 Φ_1 是同相的；因此電壓 U 與由它所產生的磁通 Φ_2 之間的相角差必須等於 $\frac{\pi}{2}$ （“象限條件”）。

這只要利用電壓線圈對磁路作用，就可以輕而易舉地辦到（參閱第11-11節講過的鐵心線圈的向量圖）。

感應型瓦特計的特點是標度尺特別長（約300°）。它只是用作配電盤式儀表，但是在新式設備里，由於它的準確度較低而不再採用。

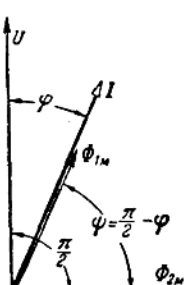


圖13-28. 感應型瓦特計的向量圖。

13-8. 三相功率與電能的量測方法

量測平衡負載三相系統的功率時，只要量測一相的功率然後把它乘以三就行了。為了達到上述目的，當然只要用一個瓦特計就够了。但是只有在可以找到中點或是具有中綫的情形下（圖13-29），才能直接量測每相功率。不然的話，要是還想用一個瓦特計來量測三相功率，就必須人为地替儀表創造適當的條件，也就是說，必須使得作用於瓦特計電壓電路的是與相電壓相等或者成比例的電壓，而通過瓦特計電流電路的是相電流或者和它成正比的電流；而最重要的是作用於瓦特計的電壓和電流，它們之間的相角差必須等於負載的相角差 φ 。

為了達成上述條件，比較簡單的方法是把瓦特計電壓電路的一端接到人为的中點——即所謂星形聯接的中點上去，星形是由瓦特計電壓電路的電阻與另外兩個和它相等的外加電阻所組成的（圖13-30）。

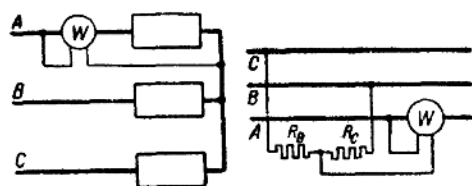


圖13-29. 當中點可以聯接時用一個瓦特計來量測功率。

圖13-30. 用一個瓦特計和人为的中点來量測功率。

三相系統的線電壓與電流的向量關係（圖13-31）不隨負載的聯接法（星形或三角形）而有所改變；在平衡負載時，三相系統的功率始終是

$$P = \sqrt{3} U_A I_A \cos \varphi,$$

而聯到人为中點上的瓦特計的讀數將是

$$P_{us} = U_{emn} I_A \cos (\dot{U}_{emn}, \dot{I}_A) = U_\phi I_A \cos \varphi = \frac{1}{\sqrt{3}} U_A I_A \cos \varphi = \frac{1}{3} P,$$

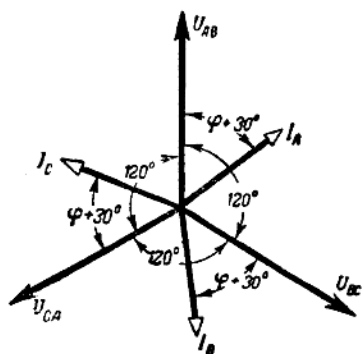


圖 13-31. 三相系統的向量圖。

在有中綫的系統內三相負載不平衡時，可利用这样一个事實：三相系統的有功功率等於各相有功功率的和。因此，總功率可以用三個瓦特計來量測，每個量一相功率（圖 13-32）。

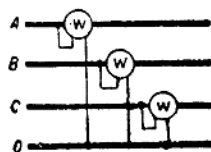


圖 13-32. 三瓦特計法。明：不論相間負載如何分布，兩個瓦特計可以讀出三相制的總功率來。三相制的瞬時功率等於各相瞬時功率的和。當負載是星形聯接時，這功率可以用下式來表示：

$$P = u_A i_A + u_B i_B + u_C i_C; \quad (13-13)$$

式中 $u_A, i_A, u_B, i_B, u_C, i_C$ 等是相應各相電流與相電壓的瞬時值，由於

$$i_C = -(i_A + i_B),$$

所以系統的瞬時功率是

$$P = i_A(u_A - u_C) + i_B(u_B - u_C);$$

相電壓的差等於相應的線電壓，因此，功率

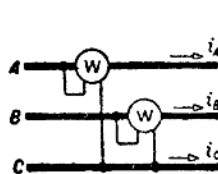
$$P = u_{AC} i_A + u_{BC} i_B. \quad (13-14)$$

圖 13-33 便是應用這個方程式的聯接法；因此，根據這種聯接法，可以用兩個瓦特計讀出三相系統的總功率來。

由於在一定的線電壓和線電流時，電源供

應的功率既不與電源的聯接法發生關係，又不與負載的聯接法發生關係，所以二瓦特計法也同樣適用於負載的三角形聯接。

我們可以看出這種聯接法的特點：線電壓系統的正常次序是 u_{AB}, u_{BC}, u_{CA} ，但用到二瓦特計聯接法的方程式裡的是電壓 u_{AC} ，也就是在相位上與 u_{CA} 相反的電壓。要想得到電壓 u_{AC} ，必須把第一個瓦特計電壓電路的“始”端接到導線 A 上，“終”端接到導線 C 上，要知道，只要把儀表電壓電路的端子換接一下，就可以使交流電壓在相位上轉變 180° 。



按照圖 13-33 聯

接的瓦特計，其讀數的代數和等於三相負載的總功率，而總功率在兩個瓦特計讀數

圖 13-33. 二瓦特計法。之間的分配和負載的不平衡程度沒有直接關係，但在很大程度內和負載相角差的大小和符號有關。我們研究一下在平衡負載的最簡單情況下的這種關係。方程式 (13-14) 用平均功率與電壓電流的有效值表示時，具有下列形式：

$$P = P_1 + P_2 = U_{AC} I_{AC} \cos(\dot{U}_{AC}, \dot{I}_A) + U_{BC} I_{BC} \cos(\dot{U}_{BC}, \dot{I}_B).$$

負載平衡時，

$$U_{AC} = U_{BC} = U_A \quad \text{而} \quad I_A = I_B = I_{AC}.$$

圖 13-34 是系統的向量圖，根據向量圖可知向量 U_{AC} 與 I_A 之間的相角差是 $\varphi - 30^\circ$ ， U_{BC} 與 I_B 之間相角差是 $\varphi + 30^\circ$ 。這樣一來，兩個瓦特計的讀數將是：

$$P = P_1 + P_2 = U_A I_A \cos(\varphi - 30^\circ) + U_B I_B \cos(\varphi + 30^\circ). \quad (13-15)$$

從這裡可以看出：在平衡負載情況下，只有當 $\varphi = 0$ 時兩個瓦特計的讀數才會一樣。當 $\varphi > 60^\circ$ 時，第二個瓦特計的指針將偏到標度尺的零點以外，這時如果要讀出第二個瓦特計

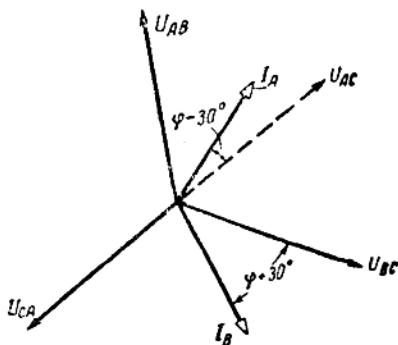


圖 13-34. 二瓦特計法的向量圖。

的讀數，就必須換接儀表某一電路的端子（在瓦特計的外盒上，通常有一個特制的電壓電路換接器）。換接後可使指針回到標度尺上來，但必須把瓦特計的讀數當作負的，並且從第一瓦特計的讀數中把它減去，以便求出三相系統的功率。

在工業設備或發電廠的配電盤上，是用三相瓦特計的。三相瓦特計實際上是重合的單相儀表，也就是在一個公共的外盒里包含兩個連在可動部分公共軸上的可動元件，兩元件可同時對三相瓦特計的總指針發生作用（圖 13-35）。

無功功率的量測差不多全是在三相系統中進行的。在各相負載平衡時，這種量測可以利用一個瓦特計按圖 13-36（“張冠李戴法”）聯接而進行；由圖 13-31 向量圖可以明顯地看出，瓦特計指示的是：

$$U_{BC}I_A \cos(90^\circ \pm \varphi) = \\ = U_A I_A \sin(\pm \varphi),$$

由於負載平衡的三相系統的無功功率為

$$Q = \sqrt{3} U_A I_A \sin(\pm \varphi),$$

因此，利用這種方法時，瓦特計的讀數乘以

$\sqrt{3}$ ，便得到三相無功功率。

這種接法有時也用來在級差電價制度下計算平均 $\cos \varphi$ （所謂級差電價，就是每一度電的電費要按該負載的平均 $\cos \varphi$ 計算）；在這種情況下，發電廠按照一般的三相瓦時計算有功電能 W ，按照圖 13-36 接法的瓦時計算無功電能 W_p 的消耗；這時平均功率因數按下式決定：

$$\cos \varphi = \frac{W}{\sqrt{W^2 + W_p^2}}.$$

由於圖 13-36 線路只適用於對稱負載，所以在更一般的情況下，應用特殊的無功電能瓦時計來量測 W_p 。

13-9. 瓦時計

這類儀表用來計算各用戶從發電廠得到的電能或者發電廠送往電力網的電能。在我們已經研究過的各種電測儀表中，可動系統在電流的作用下，只轉了一個一定的角度；而在瓦時計中，可動系統必須繼續旋轉，而其旋轉速度應該和電功率成正比。

在瓦時計中代替反作用力矩的是與可動系



圖 13-35. 双元件的

三相瓦特計：

M—兩個可動線圈；
C—兩個固定線圈。

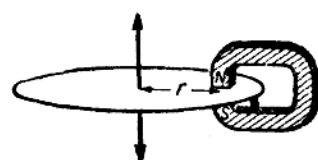


圖 13-37. 制動盤與磁鐵。

統轉速成正比的制動力矩。這力矩由固定於可動系統軸上的鋁盤在永久磁鐵的磁極間旋轉而產生（圖 13-37）。

將條件簡化一些，我們可以用下列方法來決定制動力矩：在盤上產生的電動勢是和永久磁鐵的磁通 Ψ 與位於磁極中間的鋁盤部分的

圓周速度 v 成正比的，即

$$e_d = k_1 \Phi v = k_1 \Phi \frac{2\pi r n}{60} = k_2 \Phi n,$$

这个电动势产生的电流与圆盘材料的电导系数 γ 成正比：

$$i_d = k_3 \gamma e_d = k_4 \gamma r \Phi n.$$

盤上的电流与永久磁鐵的磁通相互作用，产生与电流和磁通成正比的制动力矩：

$$M_{mop} = k_5 i_d \Phi \text{ 或 } M_{mop} = k_6 \gamma r \Phi^2 n = k_{mop} n,$$

也就是说，制动力矩是和圆盘旋转速度 n (轉/分) 成正比的。

仪表的旋转力矩應該和功率成正比：

$$M_{ep} = k_{ep} P;$$

而在轉速稳定的情况下，旋转力矩应当等于制动力矩：

$$M_{ep} = M_{mop} \text{ 或 } k_{ep} P = k_{mop} n,$$

$$\text{即 } P = \frac{k_{mop}}{k_{ep}} n.$$

現在把等式兩边都用 t 来乘， t 表示一定的时间过程，在等式左边我們得到它所監視的电力網的時間 t 內所取用的电能 $Pt = W$ ，等式右边是瓦时計在这段时间內的总轉数 $nt = N$ 。

$$\text{因此, } W = \frac{k_{mop}}{k_{ep}} N = C_{ct} N,$$

這也就是說，把瓦时計的轉数 N 乘以系数 C_{ct} ，就可以得到在時間 t 內电力網耗用的电能。 C_{ct} 这个量叫作瓦时計常数，就是瓦时計每轉一周时电力網消耗的电能量。

瓦时計可动系統的軸通过蜗輪的作用而使計算機構旋轉。这种系统的傳遞数的选择应使从計算機構中讀出的不是轉数，而可直接讀出仟瓦小时数。

由于瓦时計的軸是連續旋轉的，所以为了减少磨损起見，軸端是半球形的。

電动力型直流瓦时計如圖 13-38 所示。它的主磁場由固定綫圈产生；固定綫圈 1 由粗導綫制成，它和电源綫相串联，其中通过的是工作

电流 I 。因此，磁通 $\Phi = k_1 I$ 。电樞 2 至少由三个綫圈組成，与整流子片 3 相联接。电刷 4 沿着整流子滑动；較大的外加电阻 6 与电樞相串联。这样一来，电樞中的电流

$$I_s = \frac{U - E_s}{R_s + R_d}.$$

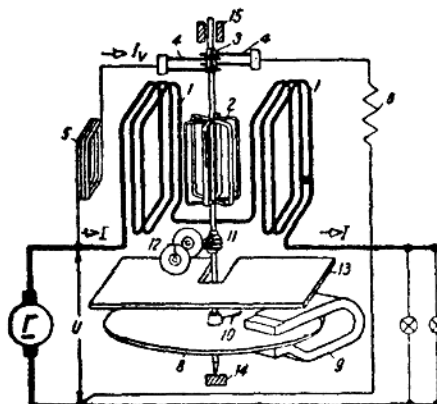


圖 13-38. 电动力型直流仟瓦小时計的構造圖。

电樞旋轉的时候，其中产生的感应电动势 E_s 非常小，可以忽略不計，这时

$$I_s = k_2 U.$$

仪表中的旋转力矩与磁通和电樞中的电流成正比，这一点是和任何电动力型仪表一样的，即

$$M_{ep} = k_3 k_1 k_2 I U = k_{ep} P.$$

仪表的制动力矩是靠制动盤 8 在永久磁鐵 9 的磁極間旋轉而产生的。永久磁鐵利用銅質屏蔽 13 与綫圈的磁場相隔离。制动力矩为

$$M_{mop} = k_{mop} n.$$

在推力轴承 14 和 15 上，計算機構 11 与 12 以及在空气中的摩擦力矩 M_{mp} 对轉速起着显著的影响，尤其是在負載較小的时候，这种影响更显著。为了消除这种有害的摩擦影响，瓦时計設有摩擦补偿器 5，它本身是一个与电樞串联的小綫圈。綫圈的磁场强弱是和电樞中的电流成正比的，它与电樞电流相作用，产生一个与負載无关的小輔助力矩：

$$M_{acn} = k_4 \Phi I_a = k_5 I_a^2 = k_6 U^2.$$

在瓦时計理想的工作情形下, $M_{mp} = M_{acn}$, 因此, 在下面的力矩方程式中

$$M_{sp} + M_{acn} = M_{mop} + M_{mp}.$$

这些力矩是相互平衡的, 因而力矩的基本平衡得以保持: $M_{sp} = M_{mop}$ 。由此, 正如我們以前所推导的, 可得:

$$W = C_{cu} N.$$

輔助力矩即使在沒有負載時也是存在的。为了消除潛行(也就是說當沒有負載時由於電壓 U 的增加而使電樞不停的轉動)的危險, 瓦時計附有制動鑄 10。制動鑄是一片焊在瓦時計軸上的鋼線, 能夠受永久磁鐵的吸引。它可使瓦時計不致因為由摩擦補償器所產生的輔助力矩作用而發生旋轉。

要想調節瓦時計, 應該移動永久磁鐵以變化其制动力矩(如圖 13-37, 改變 r)。而調節輔助力矩的方法是變化補償器線圈和電樞間距離的遠近。

交流感應型瓦時計的結構簡圖如圖 13-39 所示。其中旋轉力矩的產生方法和具有旋轉盤的感應型儀表完全一樣。

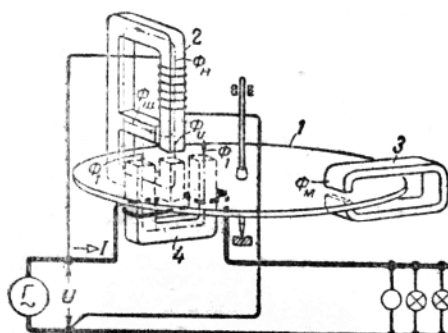


圖 13-39. 交流感應型仟瓦小時計結構簡圖。

Φ_U 和 Φ_I 兩個磁通, 一個和電力網的電壓 U 成正比, 另一個和工作電流 I 成正比, 它們產生一個旋轉磁場。為了使得磁通 Φ_U 和電壓 U

之間的相角差是 90° , 電壓線圈的鐵心 2 附有磁分流器, 線圈磁通的一部分 Φ_{uu} 由此構成通路, 不再經過盤 1。磁通 Φ_u 可以和變壓器中的漏磁通同樣看待(參考第 14-5 节); 它和電壓分量 $I X_1$ 成正比。適當選擇 Φ_{uu} , 可使電壓 U 和磁通 Φ_U 之間的相角差達成 90° 。利用這種方法產生的旋轉力矩是和功率成正比的。制動力矩利用永久磁鐵 3 與鋁盤互相作用而產生。旋轉力矩和制動力矩同樣地依盤的電阻而定, 因此, 感應型瓦時計的讀數受溫度的影響極小, 這是和指針式感應型儀表不同的地方。為了得到摩擦的補償, 可把電壓線圈做得稍微不對稱一些, 因為這樣可使電壓線圈磁通的一部分和總磁通 Φ_U 發生相角差, 因而產生輔助力矩。

要想達成這種不對稱, 也可以在電壓線圈的磁路中插入鋼螺栓, 如圖 13-40 所示。

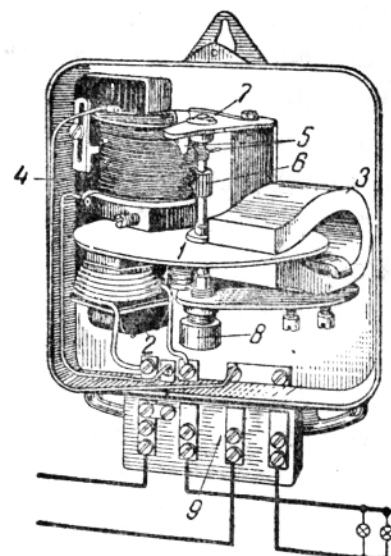


圖 13-40. 感應型瓦時計(圖中計算機機構已取去, 固定用的零件也省略了):

1—盤; 2—串聯電磁鐵; 3—制動用永久磁鐵;
4—并聯電磁鐵; 5—制動鑄和制動片; 6—傳往計算機構的齒輪; 7—軸承; 8—推力軸承;
9—端子盒。

為了消除潛行, 瓦時計附有制動鑄。要想

調節瓦時計，可以移動永久磁鐵 3。

三相瓦時計具有兩個或者三個感應瓦時計的可動元件，它們作用於同一軸上和同一計算器上。

13-10. 絶緣情況試驗

任何电工設備的完善運用和它導線間以及導電部分與地之間的絕緣情況有很大的關係，絕緣情況由其電阻、介電強度和介電損失來決定。介電強度是用適當的擊穿電壓的絕緣試驗來校驗的。介電損失是利用適當的特殊方法來量測的。但是這兩種試驗只在工作電壓高於 1000 伏的設備中進行，而是屬於電工學中一個特別部門——高壓工程所研究的範圍，這裡我們不再多談它。在工作電壓是 1000 伏或者更低、工作條件相當簡單的設備中，一般的絕緣試驗只限於量測其電阻。

每一製成的电工設備，在送去運用以前和長期不用或檢修以後，都要決定其絕緣情況。不但要量測導線與地之間的絕緣電阻，同時還要量測每兩個電位不同的導線間的電阻。

外加電壓對於絕緣電阻有著很大的影響，因此絕緣電阻的量測應該尽可能在等於工作電壓、而在任何情況下也不低於 100 伏的情況下進行。

當利用直流電來試驗對地的絕緣時，應當把電源的負極聯到受試的導體上，而把正極接地。這樣可以防止在絕緣破壞的地方的金屬導體上形成一片傳導不良的氧化層，這種氧化層會在量測時增加絕緣電阻值。

在兩個保險器之間或者在後一保險器之後的電力網，其絕緣電阻必須不比每一伏特工作電壓一千歐姆這個數來得少（例如工作電壓為 220 伏時不能比 220000 歐姆小）。這個要求並不適用於電機、變壓器和蓄電池，因為對它們來說，還有特別的規程。

量測絕緣電阻，大多使用指針式的直讀式儀表——兆歐計（歐姆計）。這種儀表的標度尺是直接以兆歐姆或仟歐姆來刻劃的。歐姆計最簡單的線路圖如圖 13-41 所示。當干電池的電動勢 E 是定值時，檢流計 I 中的電流與線路的電阻成反比，線路的電阻包括安裝在儀表內的外加電阻 R_0 與要測的電阻 R_x 。因此，當電動勢 E 是定值時，儀表

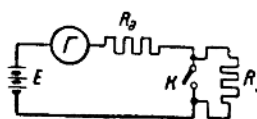


圖 13-41. 具有干電池的歐姆計。

可以直接按 R_x 的值來刻度。標度尺上，零值分度相當於 $I = \frac{E}{R_0}$ ，而 $R_x = \infty$ 的分度相當於電流的零值。電鑰 K 用來控制電池的情況，它可以把 R_x 的端點短路。當電鑰接通時，儀表的指針必須停留在電阻為零的分度上。這種具有干電池的歐姆計用於不重要的絕緣試驗。

為了在電壓不低於該設備的工作電壓的情況下量測絕緣電阻，大半使用具有感應器的兆歐計。這種感應器是一個小型永磁發電機，在其永久磁鐵磁場中有直流電機的電樞可以旋轉。驅動手柄和電樞用減速齒輪相連接。电工法則和規程規定：在試驗絕緣電阻時，應該用工作電壓，但在任何情況下也不能用低於 100 伏的電壓。因此，感應器的電壓制從 120 伏到 2000 伏。感應器的電動勢由手柄的旋轉速度決定，但根據圖 13-41 的示意圖可知這個電動勢必須是常數。在某些歐姆計中，採用特別的離心結合器，它或多或少地可以保持電樞的旋轉速度恆定不變，不管手柄轉速是否改變。

運用比率計的原理可以得到更可靠的結果（圖 13-42）。這種歐姆計由裝在同一盒中的永磁型儀表與感應器所組成。儀表磁鐵的空氣隙是不均勻的，愈靠邊上愈大。可動系統由兩個線圈組成，線圈之間互成一定角度地固定着。

定值电阻 R 与上述兩綫圈中之一相串联，要量测的电阻 R_x 与另一綫圈相串联。兩個綫圈旋转力矩的方向是相反的。电流由不会产生任何反作用力矩的非常柔韧的軟导綫通到綫圈上去。当仪表开始接通而感应器开始运转时，这时力矩較大的綫圈开始把仪表的可动部分向它自己这一方面轉

动，因而它自己走到磁场較微弱的地方，而其力矩也变小了；第二个綫圈走进了磁场較强的区域，它的力矩增加了。这样，在可动系統某一既定位置时，力矩达成平衡，而指針稳定在标度尺的一定分度上。当感应器的电动势發生变化时，兩個綫圈的力矩發生同样程度的变化，而其平衡不致破坏，因此仪表的讀数与感应器的轉速无关，只和电阻 R 与 R_x 的比率發生关系。由于 R 是一定的，所以仪表的标度尺可以直接以 R_x 的值来划分。

13-11. 頻率計

交流电的頻率可以用構造非常簡單的仪表——所謂頻率計來量測，这种仪表是以机械諧振現象为基础的。电磁式頻率計（圖 13-43）由电磁鐵 1 以及位于电磁鐵磁场中的鋼片 2 和連在鋼片上的杆 3 所組成。杆 3 固定在彈簧 4 上，在杆上裝有一排柔性的鋼片 5，这些鋼片應該选得使下面每一个鋼片的自然振动頻率都比上一个鋼片大 0.5 周/秒。在每个鋼片的自由端点上固定一个面向觀察者的白色方塊。如果綫圈兩端联到交流發电机上（就像联接伏特計一样），那末鋼片在电磁鐵的推动下便开始摆动。

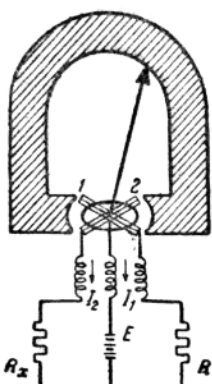


圖 13-42. 应用比率計的歐姆計。

但是只有自然頻率等于交流电頻率的那一片摆动得最厉害。固定在它端头的白色方塊，这时看起来就像灰色的小長条一样（圖 13-44），按照它所对的刻度，便可讀出要測的頻率来。相鄰兩片的振动便弱得多，而其余各片的振动肉眼完全不能覺察。要想准确地量測頻率，應該使用指針式頻率計。

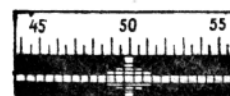


圖 13-44. 振动型頻率計的标度尺。

13-12. 示波器

永磁型示波器用来研究平均頻率約在 1000 周/秒以下的电压(电流)瞬时值的曲線，同时也用来研究电路中的过渡历程。要想研究頻率更高的振动，就要使用无惯性的电子型示波器（参阅第 19-5 节）。

永磁型示波器的振动子的構造原理如圖 13-45 所示。可动系統裝在强有力永久磁鐵或电磁鐵（用直流激磁）的磁極間。可动系統是一个扣紲狀的青銅綫圈，套在滾柱上，并且用彈簧拉緊；这个彈簧产生系统的引导力。在綫圈的中部，裝上一面小鏡子。由于引导力很強大，而可动系統的質量又很小，所以其自然振动頻率是足够大的（約 2—12 千周/秒）。当我们所研究的振动現象其頻率比綫紲的自然頻率小好几倍的时候，綫紲的偏轉度便与要測的电

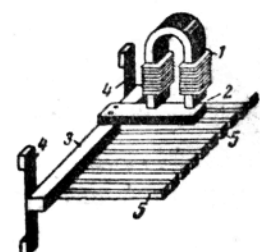


圖 13-43. 振动型頻率計的構造。

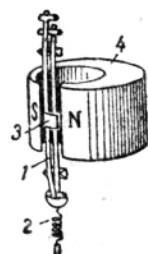


圖 13-45.
永磁型示波器的
振动子。

流成正比。

示波器的綫紳与要研究其电流的电路接通，电流与永久磁鐵的磁场相互作用，产生一个与通过綫紳电流的瞬时值成正比的偏轉力。当量测交流时，在这个力的作用下，綫紳便很快地振动，随着交流电的变化而偏轉。

我們可以借示波器的光学系統来观察这种振动（圖 13-46）。光綫从非常光亮的光源 1（电灯或电弧）發出，經過透鏡 2、狭縫 3 和三棱

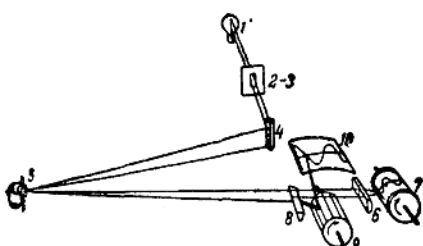


圖 13-46. 示波器光学系統簡圖。

鏡 4 以細条的形式落在振动子 5 的小鏡上；光綫从可动系統的小鏡上反射回来，通过聚光透鏡 6，在照像紙 7 上以小光点的形式呈现。当綫紳振动时，这个光点变成了光亮的綫条；为了把它扩展成曲綫，可使照像紙以均匀的速度在垂直于小鏡的振动方向上运动。利用这个方法，小鏡的振动便在照像紙上划出要測的电流对時間的曲綫来。

我們也可在幕上觀察周期性的过程，为此示波器設有下列裝置：一部分光束通过透鏡 8 朝向多邊柱体鏡 9，再从这里反射到毛玻璃制的屏幕 10 上。多邊柱体鏡用一个小同步电动机带动旋轉，这电动机的电源，其頻率与示波电流相同，而通常是由同一交流电源来供应的。由于多邊柱体鏡是同步旋轉的，在每周期过程中，每一从振动小鏡来的同一入射角和反射角的光綫，对应着交流电一定的相角。因此在每一周期，光点重复地在幕上描划出同一在直角坐标系統中 $\alpha = F(i, t)$ 的电流曲綫来，光綫

形象这样地重复出現，使我們可以很明显的在幕上看到它。

要想攝取电压曲綫，示波器的綫紳應該加上外加电阻；要攝取电流曲綫就要加分流器。示波器有好几个可动系統（振动子），这样可以同时攝取几个电压和电流的曲綫；苏联制的 MIO-2 型示波器具有 8 个振动子。

13-13. 电測非电學量的原理

前面我們已經提到量測技术电气化的重大优点。这里我們可以把用电学方法量測非电學量的几个重要优越性列举如下：(1)量測可以自动化，量測仪器經常在准备状态之下；(2)远距离傳送讀数比較簡單；(3)所測的量的变化值可以无惯性地复現（尤其是靠着电子仪器的帮助）；(4)量測結果可以自动地进行数学运算（加、减、乘、除、积分与微分）；(5)量測范围比較寬广。这些优越性（当然还有其他优点）使得今天在苏联生产的机械化發展方面，更广泛地使用了电工仪表以量測非电學量。目前我們可以在飞机船內、鍋爐設備中、汽車里、金屬切削車床里、紡織机内、糖果工厂內等等地方找到它。

量測非电學量的电工设备，其主要几部分可以大体上称为：发送器、中間的特別組合、原来的量測裝置。

发送器把非电學量变成电學量（例如我們要量測溫度，溫度的变化可以对发送器的电阻起作用）。发送器的特性以其轉換能力与灵敏度为代表。所謂轉換能力，就是它所能量測的非电學量的范围，也就是当发送器的誤差不超过許可值时，它的量測范围。发送器的灵敏度 S 是电學量的变化 y （在发送器的输出端）和相对应的非电學量变化 x 的比（例如电阻的变化与溫度变化的比），更准确些，應該是偏导数

$$S = \frac{\partial y}{\partial x}.$$

由于發送器用来量測相当不同的物理量，所以各种發送器的作用原理是很不相同的。在許多电測非电學量的裝置中，应用一种發送器，其中非电學量的变化引起电阻的变化。这种發送器叫电阻式發送器或叫R-發送器。讓我們在这一类發送器中拿几个例子来看一下。圖 13-47 所示为一种在量測液面设备中的变阻器型

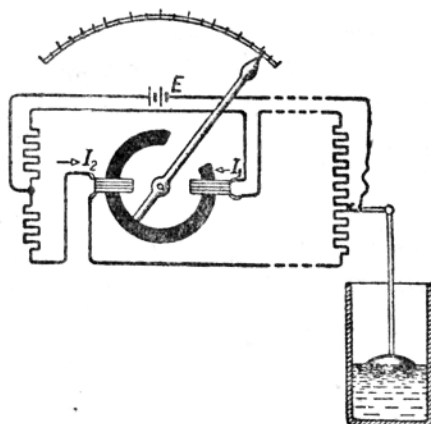


圖 13-47. 具有电阻發送器与电磁式比率計的液面計線路圖。

(所謂“电位計型”)电阻式發送器的構造。浮标放在要量測的容器中，用机械傳动的方法操縱变阻器的可动接触点，按照液面来改变接在具有鎌刀形鐵心的电磁比率計兩綫圈电路中电阻的比，这个比率計就是液面計的一部分。电流 I_1, I_2 决定于浮标的位置， I_1, I_2 流經兩個固定綫圈，产生两个方向相反的力矩。其中每一个力矩都尽量要去吸动由鐵磁性物体制成的鎌刀形鐵心，使鐵心的中部和綫圈的中心靠近。但是力矩却随着鐵心的靠近而减小，然而向反方向作用的力矩这时却增加了，在鐵心的某一位置达成为力矩的平衡。从 (13-8) 式可以看出，电磁型仪表中这两个力矩都是和电流的平方成正比的，因而也就和电源电压的平方成正比。但是这个电压的改变对两个力矩引起的影响是相同的，因此不会改变可动部分的位置。比率

計的标度尺直接按液面刻度。

圖 13-48 所示为具有两个碳柱 (1 与 2) 的电阻式發送器，用来量測压力 P 。碳柱由碳片堆成，它具有这样一种特性：它的电阻随着压力的改变而有很显著的变化。待测的压力 P 作用于可动杠杆上，引起上面碳柱 1 压力的减低，因而使其电阻增加，同时下面碳柱 2 的压力增加，而它的电阻减低。可以把碳柱接在量測电桥上，作为两个臂。电阻的变化引起电桥对角綫中电流的变化，对角綫中接有电測仪表。仪表可以直接以压力为單位来分度。这种發送器構造簡單，碳柱容許很大的电流通过，具有很高的灵敏度，可以量測变化很快的压力。除了量測以外，它还可以应用在自动調整裝置中。

綫形电阻發送器張力計的示意圖如圖 13-49。是用来量測不同構造的变形程度的。它用細綫(直徑 20 到 30 微米)制成，細綫的电阻系数很大(通常使用康銅——Cu 59%，Ni 40%，Mn 1%)。細綫用特制的膠貼在紙上。把發送器貼在要量測其变形程度的零件上。發送器的电阻的变化不仅是由于其尺寸的变化(長度、截面积)，同时也由于物質構造的改变。

具有环管的电阻式發送器(圖 13-50)通常

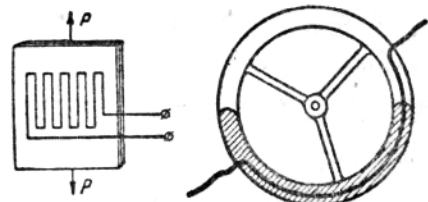


圖 13-48. 具有两个碳柱的电
阻式發送器。

应用于非电學量仪表讀数的傳送。它的主要部

圖 13-49. 線形电阻式

發送器(張力計)。

的电阻式發送器。

分是一个密封的玻璃管，里面裝有鉑銻線的電阻。管的一半盛以水銀。水銀可以把線型電阻的一部分短路；短路部分的大小是隨着管的位置變化而改變的。導線電阻的變化可以用電學方法來量測。這種發送器用來傳送較大的角位移是很方便的。

***感應式發送器(L-發送器)**應用在量測設備的電源是交流電的情形中。這時，量測儀表一般地說是要比電阻式發送器來得複雜，但是感應式發送器具有許多重要的優點。圖13-51便是感應式液面指示器的接線圖和外形圖(除去外殼)，可以拿它來作為這類發送器的例

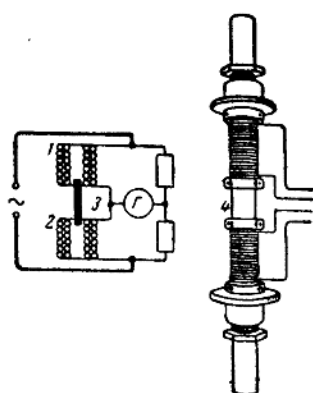


圖 13-51. 感應式發送器——液面計。

子。發送器的兩個線圈1和2包圍着浮管4。在管內浮標可移動鐵心3，因而可以增加一個線圈的電感而減少另一線圈的電感。這樣便破壞了交流電橋的平衡，這個交流電橋是以線圈1與2為其兩臂的。因此，位於電橋對角線的量測儀表 I' 中產生電流，電流的大小由鐵心3的位置來決定。所以儀表 I' 可以直接按液面高度來劃分刻度。這種裝置特別適用於高壓鍋爐，因為發送器的連系完全依靠電感，因而不會破壞鍋爐的密閉。

電容式發送器(C-發送器)用來量測微小的移動或者尺寸。圖13-52所示為量測條帶厚

度 J 的電容式發送器。條帶在平行板電容器的極板間移動，佔據了板II之間空隙的一部分空間。

這樣就形成了一個有着分層介質的電容器(參閱第6-4節)。條帶厚度的改變引起系統總電容的變化。

這種電容的改變可以用電學方法量測或者記錄下來，或者讓它去影響一個指示條帶厚度誤差超過容許範圍的信號設備，或者自動地限制供應條帶的機構，使其只能送出厚度不超過許可範圍的條帶。

圖13-53所示為用來量測微小尺寸的另一種電容式發送器(測微計)。

移動儀器下部的接觸杆K，可以改變發送器內空氣電容 C 的電容量。

只有在最簡單的裝置中才可以直接量測發送器輸出端的電學量。通常在發送器和儀表之間需要許多中間樞紐。

如果電學量的變化小得不能直接量測的時候(就像張力計或電容式發送器)，就必須用中間樞紐——電子管放大器(參閱第19-2節)。

如果所測的量要傳送相當遠的距離，通常適當地採用中間樞紐——轉換器，把發送器輸出的電學量轉換為另一種形式的電學量，後者在遠距離傳送時比較簡單，而且不會發生畸變；例如電感的變化可以變成交流電頻率的變化。

在許多情形中，當正在量測時，必須消除電源電壓變化的影响，例如这对于圖13-51的感應式發送器便是必須的。運用比率計的原理才可以消除這種影响。如果由於某種緣故不適於應用比率計的原理，例如由於指針式儀表的準確度不夠，那麼必須要有相當的中間樞紐——電

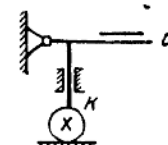


圖 13-53. 電容式測微計。

压稳定器。电压稳定器是一种保持负载电压恒定不变、不受电源电压波动的影响的设备。目前应用的是铁谱振式、离子式、电子式电压稳定器。

其实，在最简单的情况下，直读式仪表是用来当作电测非电学量设备中的量测器的，可是

在许多情形下，必须采用复杂的量测仪器——自动补偿器等。

当然，这里提到的仪表只是几个例子，目前在每一个工程部门，都有自己专门用途的仪器，用来自测各种非电学量。

第十四章 变压器

14-1. 总論

电工技术的主要任务之一是把能量从藏有廉价的自然資源(水落差, 泥炭, 煤)的地方輸送到分布有用戶的許多地方去。在这时候, 电力傳輸綫的电压越高, 則輸送同样功率所需的电流越小, 因而导線的截面积也就越小。因此, 經济的远距离輸电只有在高压下才是可能的。但是要在發电厂里直接發出为輸送数百公里远所需的高压电是極端困难的, 并且在如此高的电压下来应用電能也是很不便的, 所以把低压的强电流轉变为高压的但强度小到原来的許多分之一的电流或者倒过来的轉变就显得十分必要了。在現代, 这一問題只有依靠工作于交流电之下的变压器才能获得既簡便又經濟的解决。

巴·尼·亞勃罗契柯夫在 1876 年研究并制成了变压器, 他把它应用在他自己所做的照明裝置上。

变压器^①是以互感現象(第 5-5 节)为作用原理的靜止的电磁裝置。在变压器里面, 某一电压的交流电轉变为同頻率的另一电压的交流电。它有着在电方面互相絕緣的數个繞組(不少于兩個)。和电源联接的繞組称作原繞組, 其他向外电路输出电能的繞組則称作副繞組。应用最广的是双繞組变压器(圖 14-1), 我們在下面所要研究的也就是这种变压器。

如果原繞組端的电压——原电压 U_1 低于副电压 U_2 , 則变压器称为升压变压器; 相反的情形則称作降压变压器 ($U_1 > U_2$)。繞組按照額定电压的相对大小分为高压繞組 (B. H.) 和低压繞組 (H. L.) 两种。

① 变压器的拉丁名 transformare ——意为轉換。

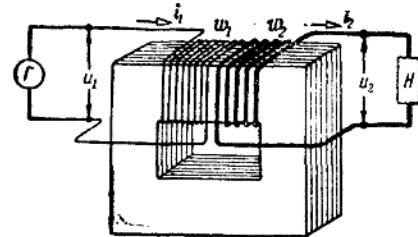


圖 14-1. 具有鐵心的双繞組变压器的裝置圖。

为了加强繞組間的磁的連系, 兩个繞組一齐裝在一个用电工鋼片做成的閉合鐵心上。在頻率大約高于 20 仟周/秒时, 应用鐵心就不适宜了, 这是由于鐵損加大和磁通將擠縮于鐵心表面的緣故(第 11-9 节)。因此制造空心变压器(沒有鐵心)供高頻之用。

14-2. 变压器的作用原理

加在原繞組兩端的电压 U_1 在这个繞組里产生交变电流 i_1 。和鐵心線圈一样(第 11-7 节), 电流在变压器的鐵心里激發出交变磁通 Φ 。由于这个磁道作周期变化, 在变压器的兩個繞組里感应而生电动势:

$$e_1 = -w_1 \frac{d\Phi_1}{dt} \quad \text{和} \quad e_2 = -w_2 \frac{d\Phi_2}{dt}.$$

此处 w_1 和 w_2 分別为兩個繞組的匝数。兩個繞組中所感应的电动势的比值就等于这些繞組的匝数的比值:

$$\frac{e_1}{e_2} = \frac{w_1}{w_2}.$$

电动势的有效值和变压器磁通的幅值間的关系, 同鐵心線圈一样, 可用以下的方程式來表示:

$$E_1 = 4.44 f w_1 \Phi_m, \quad (14-1)$$

$$E_2 = 4.44 f w_2 \Phi_m. \quad (14-2)$$

因此，变压器的电动势的有效值間的比值也等于匝数間的比值：

$$E_1 : E_2 = w_1 : w_2 = k_{12} \quad (14-3)$$

这个比值称作变比。

变压器的效率很高，平均約为 98%；这就使得在额定負載下可以認為变压器原級繞組所取得的功率和副級繞組所發出的功率近似地相等，亦即 $p_1 \approx p_2$ 或 $u_1 i_1 \approx u_2 i_2$ ，于是，

$$i_1 : i_2 \approx u_2 : u_1 \approx w_2 : w_1.$$

这个电流和电压瞬时值的比例对于幅值以至于有效值來說仍是正确的：

$$\frac{I_1}{I_2} \approx \frac{w_2}{w_1} \approx \frac{U_2}{U_1}, \quad (14-4)$$

这就是說，当負載接近于額定負載时，可以認為变压器各繞組中电流的比值等于相应的繞組中的电压或匝数的比值的倒数。

在变压器运行时，原繞組和副繞組中的电动势分別起着不同的作用。原繞組中所感应的电动势 e_1 是作为反对原电流 i_1 的变化而产生的。就相位來說，这个电动势差不多和电压 u_1 相反。和有感电路一样（第 7-7 节），原电流

$$i_1 = \frac{u_1 + e_1}{R_1},$$

这里 R_1 是原繞組的有效电阻。由此得到原电压瞬时值的方程式：

$$u_1 = -e_1 + i_1 R_1 = w_1 \frac{d\Phi}{dt} + i_1 R_1, \quad (14-5)$$

这个式子可以看作是电平衡的条件：加在原繞組兩端的电压 u_1 永远为电动势 e_1 和繞組有效电阻上的电压降所平衡（第二項很小）。

副电路一边则另是一种情况。这里电流 i_2 是由电动势 e_2 所生的，后者起着电源电动势的作用。当負載为純电阻 R_n 时，副电路的电流

$$i_2 = \frac{e_2}{R_2 + R_n};$$

其中 R_2 是副繞組的有效电阻^①。

^① 我們在此暂且不考慮由于漏磁存在而产生的原、副繞組的感抗，关于這方面的問題將在以下提出。

就第一次近似來說，副电流 i_2 对变压器原电路的影响將如下述。

經過副繞組的电流 i_2 力圖在变压器鐵心中产生磁通，后者决定于磁化力 $i_2 w_2$ 。按照楞次定律，这个磁通的方向必將与主磁通的方向相反；換句話可以說，副电流力圖削弱产生它的磁通。但是主磁通 Φ 的減弱將破坏电平衡关系 $u_1 = i_1 R_1 + w_1 \frac{d\Phi}{dt}$ ，而使原电压 u_1 的一边占优势，所以伴随着副电流的出現原电流必將同时增加以抵消副电流的去磁作用而保持电的平衡关系。因此，副电流的任何变化必定会引起原电流相应的变化。由于 $i_1 R_1$ 相当小，所以从工程准确度看来副电流差不多不会影响到变压器主磁通的幅值以及它的隨時間而变化的性質，因此主磁通的幅值 Φ_m 可以認為是一常数。这个常数 Φ_m 可以表征变压器运行于不变的原級外施电压 U_1 时的情形。

14-3. 变压器的空载运行

在变压器的原繞組上加以額定电压 U_1 ，

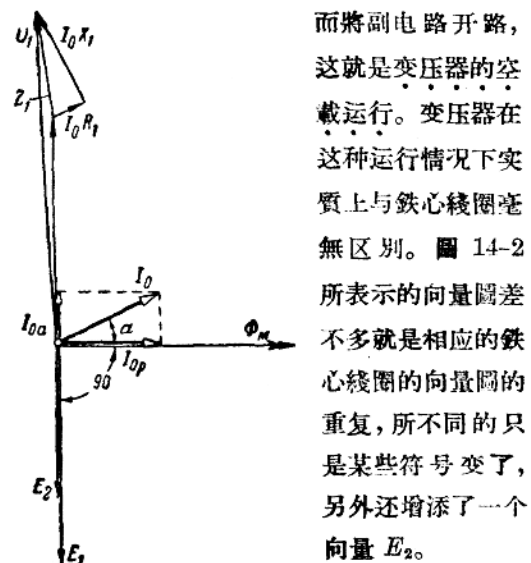


圖 14-2. 空載运行时变压器的向量圖。

而將副电路开路，这就是变压器的空載运行。变压器在这种运行情况下实质上与鐵心綫圈毫無区别。圖 14-2 所表示的向量圖差不多就是相应的鐵心綫圈的向量圖的重复，所不同的只是某些符号变了，另外还增添了一个向量 E_2 。

經過原繞組的
变压器空載电流